

Федеральное государственное автономное образовательное учреждение высшего
образования

«Московский физико-технический институт
(национальный исследовательский университет)»
Физтех-школа физики и исследований им. Ландау

Кафедра теоретической астрофизики и квантовой теории поля

Направление подготовки / специальность: 03.03.01 Прикладные математика и физика
(бакалавриат)

Направленность (профиль) подготовки: Общая и прикладная физика

1/N поправки в возмущенной модели SYK

(бакалаврская работа)

Студент:

Клыков Андрей Алексеевич

Научный руководитель:

Горский Александр Сергеевич,
д-р физ.-мат. наук.

Москва 2021

Аннотация

В рамках модели SYK как теории, описывающей поведение электронов в сверхпроводнике, исследованы поправки к основному состоянию в пределе сильной связи для объединенной теории SYK и Хаббарда. Подробно рассматривается связь этой теории с обобщенной моделью Ричардсона. Построение начинается с разбора классической модели Ричардсона. Для сверхпроводника рассматривается случай четного количества фермионов и вещественной константы связи. Производится нормировка квантовых состояний и последовательное вычисление поправок по теории возмущений с помощью теоремы Вика и комбинаторных тождеств. В качестве промежуточных результатов приведено подробное вычисление первого и второго члена ряда теории возмущений. Эти результаты напрямую обобщаются для поправок всех порядков к основному состоянию возмущенной системы. Также кратко обсуждается дальнейшее развитие теории и постановка новых вопросов.

Содержание

1. Введение	4
2. SYK теория	5
2.1. Основные определения	5
2.2. Диаграмматика и эффективное действие	7
3. Комплексная модель и недиагональный дальний порядок	9
3.1. SYK в применимости к эффектам сверхпроводимости	9
3.2. Недиагональный дальний порядок	10
3.3. Модель SYK для электронов в твердом теле	11
4. Построение обобщенной модели Ричардсона	12
4.1. Модель Ричардсона	12
4.2. Возникновение обобщенной модели	13
4.3. Спектр модели и ее свойства	15
5. Рассмотрение квантовых поправок к обобщенной модели Ричардсона	17
5.1. Поправки первого и второго порядка, обобщение	17
6. Заключение	20
7. Список литературы	21

1. Введение

Проблема описания сверхпроводящих систем всегда ставила в тупик исследователей. Чаще всего главной трудностью, которую необходимо преодолеть на пути к пониманию эффектов сверхпроводимости — это отсутствие аналитических и легко трактуемых решений для изучаемых моделей. В последнее время внимание сообщества обратилось к семейству точно решаемых SYK-моделей, описывающих поведение электронов в сверхпроводящей фазе, это привело к заметному прогрессу в исследовании коррелированных фаз с интригующими свойствами, такими как эффекты переноса в металлах и квантовый хаос [1, 2].

Аналогичным образом были построены точно-решаемые модели скоррелированных сверхпроводников - на данный момент существует два популярных подхода, заключающиеся в явном добавлении членов спаривания в конструкцию SYK или рассмотрении случайных электрон-фоонных взаимодействий. Основываясь на этих идеях, в данной работе предлагается рассмотреть простую модель коррелированной сверхпроводимости с богатой феноменологией, в которой сверхпроводящие корреляции генерируются с помощью добавления к модели SYK члена Хаббарда и рассмотрения результирующей системы в пределе сильной связи. Особняком в данной задаче стоит вопрос рассмотрения возникающих квантовых поправок, их характера и влияния на сдвиг основного энергетического уровня. Этот подход по сути является продолжением работы [3].

В завершении коротко опишем как устроена данная работа. В первом разделе формулируется теория SYK, ее основные особенности и даются главные определения. Далее теория рассматривается в разрезе применимости к эффектам сверхпроводимости: описывается недиагональный дальний порядок и возможные члены парного взаимодействия электронов. В режиме сильной связи исследуемую модель можно ассоциировать с обобщенной моделью Ричардсона, последовательному изложению описания возникшей связи посвящен третий раздел. Завершается данная работа рассмотрением квантовых поправок к обобщенной модели Ричардсона.

Итоговое обсуждение всех полученных результатов приведено в заключении работы.

2. SYK теория

2.1. Основные определения

В первой секции будет дано общее описание исследуемой теории, и введены основные понятия, которые выделяют эту теорию среди множества остальных тензорных моделей, вводная часть строится аналогично [4].

Модель SYK [5, 6] — это квантовомеханическая система $N \gg 1$ майорановских фермионов, где все фермионы взаимодействуют друг с другом посредством четырехфермионного взаимодействия особого вида:

$$I_{SYK} = \int d\tau \left(\frac{1}{2} \sum_{i=1}^N \chi_i(\tau) \dot{\chi}_i(\tau) - \frac{1}{4!} \sum_{i,j,k,l=1}^N J_{ijkl} \chi_i(\tau) \chi_j(\tau) \chi_k(\tau) \chi_l(\tau) \right) \quad \dot{\chi}_i = \frac{d\chi_i}{d\tau} \quad (1)$$

В формуле выше τ - евклидово (мнимое) время, которое с помощью поворота Вика ($\tau = it$) связано с действительным (лоренцевым) временем t . Так как мы рассматриваем майорановские фермионы, то операторы χ_i эрмитовы: $\chi_i = \chi_i^\dagger$ и удовлетворяют антикоммутационным соотношениям:

$$\{\chi_i, \chi_j\} = \delta_{ij} \quad i, j = 1 \dots N \quad (2)$$

Для данной системы константы связи J_{ijkl} являются случайными независимыми Гауссово-распределенными величинами с плотностью вероятности:

$$P(J_{ijkl}) = \exp \left(-\frac{N^3 J_{ijkl}^2}{12J^2} \right) \quad (3)$$

для каждой J_{ijkl} . Процедура вычисления математического ожидания для таких величин обычно называется усреднением по беспорядку. Приведем некоторые известные полезные тождества:

$$\overline{J_{ijkl}} = 0 \quad \overline{J_{ijkl}^2} = \frac{3!J^2}{N^3} \quad (4)$$

Здесь J является константой с размерностью массы. Отметим также свойство, напоминающее теорему Вика о том, что четные моменты распределения разбиваются на сумму всех возможных произведений средних квадратов, например

$$\overline{J_{i_1 i_2 i_3 i_4} J_{j_1 j_2 j_3 j_4} J_{k_1 k_2 k_3 k_4} J_{l_1 l_2 l_3 l_4}} = \overline{J_{i_1 i_2 i_3 i_4} J_{j_1 j_2 j_3 j_4}} \overline{J_{k_1 k_2 k_3 k_4} J_{l_1 l_2 l_3 l_4}} + \overline{J_{i_1 i_2 i_3 i_4} J_{k_1 k_2 k_3 k_4}} \overline{J_{j_1 j_2 j_3 j_4} J_{l_1 l_2 l_3 l_4}} + \quad (5)$$

$$+ \overline{J_{i_1 i_2 i_3 i_4} J_{l_1 l_2 l_3 l_4}} \overline{J_{k_1 k_2 k_3 k_4} J_{j_1 j_2 j_3 j_4}} \quad (6)$$

Следствием коммутационных соотношений является антисимметричность константы связи:

$$J_{ijkl} = \text{sgn} \sigma J_{\sigma(i)\sigma(j)\sigma(k)\sigma(l)} \quad \sigma : i \longrightarrow \sigma(i) \quad i = 1 \dots N \quad (7)$$

Очевидно, что количество независимых компонент тензора J_{ijkl} снизится до $\frac{N!}{4!(N-4)!}$. В итоге можно определить усредненное по беспорядку произведение для двух констант связи:

$$\overline{J_{i_1 i_2 i_3 i_4} J_{i_5 i_6 i_7 i_8}} = \frac{J^2}{4N^3} \sum_{\sigma} \text{sgn} \sigma \delta_{i_1 \sigma(i_5)} \delta_{i_2 \sigma(i_6)} \delta_{i_3 \sigma(i_7)} \delta_{i_4 \sigma(i_8)} \quad (8)$$

Этой информации нам хватит, чтобы продвинуться дальше.

2.2. Диаграмматика и эффективное действие

В этой подсекции производится краткое описание основных фактов, которые необходимы для полного понимания популярности этой теории в физике конденсированного состояния. Для подробного изложения стоит обратиться к работам [4-5]

В случае, когда представляет интерес вычисление квантовых поправок к корреляционным функциям или хаотическая природа теории, необходимо обратиться к диаграммной технике. Для случая большого количества частиц $N \gg 1$ основной вклад будут давать, так называемые, диаграммы в форме дыни [7].

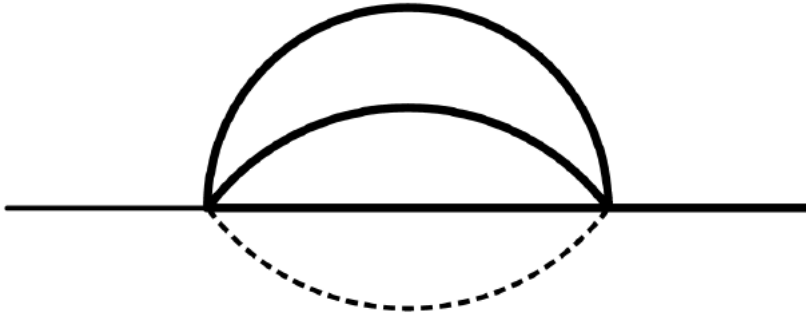


Рис. 1. Диаграмма в форме дыни

Суммирование всех диаграмм такого типа заложено в уравнении Швингера-Дайсона:

$$G^{-1}(\omega) = -i\omega - \Sigma(\omega) \quad (9)$$

Здесь $G(\omega)$ — это фурье-образ $G(\tau)$. Очень часто данное уравнение решается численно, но существует возможность получить приближенное аналитическое решение для случаев низких частот ($\omega \ll J$ или $J\tau \gg 1$) и сильной связи ($\beta J \gg 1$). При рассмотрении поправок $O(1/N)$ оказывается, теория описывается эффективным действием, которое зависит от бислокальных полей $\Sigma(\tau_1, \tau_2)$ и $G(\tau_1, \tau_2)$, где Σ играет роль лагранжева множителя, а G имеет вид:

$$G(\tau_1, \tau_2) = \frac{1}{N} \sum_{i=1}^N \chi_i(\tau_1) \chi_i(\tau_2) \quad (10)$$

Если произвести усреднение по беспорядку и проинтегрироваться по фермионам, то получим:

$$\bar{Z} = \int \mathcal{D}[G] \mathcal{D}[\Sigma] e^{-I_{eff}[G, \Sigma]} \quad (11)$$

$$\frac{I_{eff}}{N} = -\frac{1}{2} \log \det(-\delta(\tau - \tau') \partial_\tau - \Sigma(\tau, \tau')) + \frac{1}{2} \int d\tau d\tau' \left(\Sigma(\tau, \tau') G(\tau, \tau') - \frac{J^2}{4} G(\tau, \tau')^4 \right) \quad (12)$$

Таким образом, теория полностью определена в пределе $N \gg 1$. В следующей секции мы сузим рассмотрение на ту имплементацию теории, которая применяется в физике твердого тела.

3. Комплексная модель и недиагональный дальний порядок

3.1. SYK в применимости к эффектам сверхпроводимости

В физике конденсированного состояния вещества SYK хорошо описывает электроны в состоянии, отличном от ферми-жидкости. Следовательно, возникает вопрос можно ли как-то включить в эту конструкцию механизм сверхпроводимости.

Существует большое число модификаций, построенных на базе SYK, которые претендуют для описания явлений в физике твердого тела. Аналогично механизму БКШ можно добавить какой-либо потенциальный член притяжения, который описывает притяжение электронов посредством фононов [8], например модель Хаббарда:

$$H_{Hub} = -U \sum_i c_{i\uparrow}^\dagger c_{i\downarrow}^\dagger c_{i\uparrow} c_{i\downarrow} - \mu \sum_{i,\sigma} c_{i\sigma}^\dagger c_{i\sigma} \quad (13)$$

или рассмотреть прыжки пар электронов между орбиталями:

$$H_{p-hop} = -\frac{U}{N} \sum_{ij} c_{i\uparrow}^\dagger c_{i\downarrow}^\dagger c_{j\uparrow} c_{j\downarrow} - \mu \sum_{i,\sigma} c_{i\sigma}^\dagger c_{i\sigma} \quad (14)$$

Здесь видно, что происходит аннигиляция пары на j -ой орбитали и рождение на орбитали i . Оба эти гамильтониана сохраняют число частиц и не меняются при действии оператора обращения времени. Состояния же характеризуются температурой T , числом фермионов N_f и безразмерным параметром U/J , который характеризует силу притяжения.

Для рассмотренных выше гамильтонианов также применим метод среднего поля, однако, на примере с моделью Хаббарда оказывается, что даже в пределе $N \gg 1$ этот метод плохо описывает желаемые явления [3]. Причиной неприменимости теории среднего поля является наличие, так называемой, псевдощели при $U < U_c$, где U_c - критическая сила притяжения. Если же рассмотреть случай $U > U_c$, то на графике $U(T)$ можно обнаружить "область сверхпроводимости". Эти результаты приводят нас к рассмотрению теории в двух пределах: в пределе большого и малого притяжения. Оказывается, что в пределе малого притяжения объединенные модели SYK и Хаббарда можно ассоциировать с моделью Курамото [9, 10], а в противоположном случае — с обобщением модели Ричардсона [11]. В этом тексте мы сконцентрируемся на последней и в следующих секциях проведем более детальный обзор явлений, связанных с электронами при сильном притяжении.

3.2. Недиагональный дальний порядок

Стандартное определение сверхпроводимости подразумевает наличие аномального среднего значения:

$$\bar{\Delta}_i \propto \langle c_{i\uparrow}^\dagger c_{i\downarrow}^\dagger \rangle \quad (15)$$

Очевидно, что для системы с конечными размерами эта величина обязана обратиться в ноль. Именно поэтому необходимо ввести новую величину, которая будет являться характеристикой порядка в системах с конечным числом частиц. Существует соответствующий концепт, носящий название недиагонального дальнего порядка (ODLRO), который хорошо известен из теории Бозе конденсата в оптических или магнитных ловушках [12].

Рассмотрим какую-либо статистическую систему и определим в ней одночастичную матрицу плотности

$$\rho = \langle \psi^\dagger(r) \psi(r') \rangle \quad (16)$$

наличие недиагонального дальнего порядка в этой системе эквивалентно утверждению

$$\lim_{|r-r'| \rightarrow \infty} \rho(r, r') = \langle \psi^\dagger(r) \rangle \langle \psi(r) \rangle \quad (17)$$

Ситуация с системой SYK описывается подобным образом, если определить бозонный оператор рождения как

$$b_i^\dagger = c_{i\uparrow}^\dagger c_{i\downarrow}^\dagger \quad (18)$$

Уже с его помощью можно ввести редуцированную одночастичную матрицу плотности:

$$\rho_{ij} = \langle b_i^\dagger b_j \rangle \quad \rho \propto \bar{\Delta}_i \Delta_j \quad (19)$$

Определенная таким образом ρ_{ij} — это $N \times N$ положительно-определенная матрица, ее след дает полное количество локальных пар, которое меньше или равно $N_f/2$. При дальнейшем детальном рассмотрении этого объекта можно обнаружить, что в пределе $N \rightarrow \infty$ имеется фазовый переход между фазами с конечной и нулевой плотностью сверхпроводящего конденсата [3].

3.3. Модель SYK для электронов в твердом теле

Наконец, после обоснования мотивации для рассмотрения сверхпроводимости с помощью указанных моделей перейдем к количественному описанию. Рассмотрим 0D модель, состоящую из $N \gg 1$ частиц, каждую орбиталь может занимать 2 комплексных фермиона со спином $1/2$. В духе оригинальной модели SYK мы предполагаем, что все орбитали полностью вырождены с энергией на орбиталь равной нулю. Фермионы также взаимодействуют с помощью четырехфермионного взаимодействия с вещественной, не зависящей от спина, константы связи:

$$H_{\text{SYK}} = \frac{1}{2} \sum_{ijkl\sigma\sigma'}^N J_{ijkl} \left(c_{i\sigma}^\dagger c_{j\sigma'}^\dagger c_{k\sigma'} c_{l\sigma} + c_{l\sigma}^\dagger c_{k\sigma'}^\dagger c_{j\sigma'} c_{i\sigma} \right) \quad (20)$$

Еще раз упомянем, что чистый SYK гамильтониан не приводит к возникновению недиагонального дальнего порядка [3]. Для воспроизведения механизма спаривания добавим член взаимодействия Хаббарда:

$$H_{\text{Hub}} = -U \sum_i^N c_{i\uparrow}^\dagger c_{i\downarrow}^\dagger c_{i\uparrow} c_{i\downarrow} - \mu \sum_{i,\sigma}^N c_{i\sigma}^\dagger c_{i\sigma} \quad (21)$$

В отсутствие SYK основное состояние модели Хаббарда представляет собой локализованные пары и не поддерживает недиагональный дальний порядок. Энергия, которая приходится на одну пару фермионов, очевидно, равна $-U$, вырождение равняется количеству размещений заданного числа пар $N_f/2$ по N орбиталям. Возбужденные состояния образуются при разрыве пары и образовании одиночных электронов на орбитали с нулевой энергией. Детальный анализ [3] показывает, что с помощью SYK и модели Хаббарда можно построить систему, которая поддерживает недиагональный дальний порядок.

4. Построение обобщенной модели Ричардсона

4.1. Модель Ричардсона

Эта секция посвящена более детальному обзору обобщенной и обычной модели Ричардсона. Обобщенная модель Ричардсона естественным образом возникает при рассмотрении объединенной модели SYK и Хаббарда.

Модель Ричардсона [11] является БКШ-подобной моделью сверхпроводимости с двукратно вырожденными уровнями энергии. Предполагается, что часть уровней заполнена куперовскими парами, при этом уровни с одиночными фермионами запрещены, энергия, приходящаяся на одну пару $\varepsilon_j/2$ гамильтониан модели:

$$H_R = \frac{1}{2} \sum_{j,\sigma} \varepsilon_j c_{j\sigma}^\dagger c_{j\sigma} - G \sum_{jk} c_{j\downarrow}^\dagger c_{k\uparrow}^\dagger c_{\uparrow\sigma} c_{k\downarrow} \quad (22)$$

Здесь c_j^\dagger - оператор рождения фермионов и G - константа связи, обеспечивающая притяжения фермионов. После преобразования гамильтониана с использованием бозонных операторов, введенных в (18):

$$H_R = \sum_j \varepsilon_j b_j^\dagger b_j - G \sum_{jk} b_j^\dagger b_k \quad (23)$$

Приведем коммутационные соотношения в этом представлении:

$$[b_j^\dagger, b_k] = \delta_{jk}(2N_j - 1) \quad N_j = b_j^\dagger b_j \quad (24)$$

Собственные состояния гамильтониана строятся с помощью операторов B^\dagger ,

$$|M\rangle = \prod B_i^\dagger |0\rangle \quad B_i^\dagger = \sum_j \frac{b_j^\dagger}{\varepsilon_j - E_i} \quad G^{-1} = - \sum_j \frac{2}{\varepsilon_j - E_i} + \sum_j \frac{1}{E_j - E_i} \quad (25)$$

Спектр получается с помощью уравнения Бете-анзаца, где энергия является суммой энергий

$$E(M) = \sum_i^M E_i \quad (26)$$

На этом моменте можно закончить рассмотрение классической системы Ричардсона и перейти к механизму возникновения обобщенной модели.

4.2. Возникновение обобщенной модели

Численный анализ модели Хаббард + SYK проведен в [3]. Его результаты показывают, что низкоэнергетическая часть спектра отделена от остальных уровней щелью шириной $\sim U$, а количество многочастичных состояний в точности $\binom{N_f/2}{N}$, здесь N_f - количество фермионов, а N - число орбиталей. Из этих результатов можно сделать вывод, что низкоэнергетическая часть спектра описывается в терминах бозонов. В отсутствие члена SYK все состояния локализованы, но его добавление приводит к формированию спектра с перечисленными ранее особенностями.

Чтобы формализовать наши рассуждения будем рассматривать состояние с $N_f/2$ бозонами, которые занимают N орбиталей. Действуя гамильтонианом SYK на данное состояние можно получить ненулевой результат только в случае, если для J_{ijkl} орбитали k и l заняты, в то время i, j пусты или наоборот. В итоге мы получим состояние $N_f/2 - 2$ парами и четырьмя одиночными фермионами на орбиталях i, j, k, l , это состояние отделено на $2U$ от низкоэнергетического бозонного сектора. С точки зрения эффективной бозонной теории это состояние является виртуальным. Чтобы вернуться в изначальное состояние мы должны повторить действие гамильтонианом, но оно также может привести к перепрыгиванию двух бозонов с орбиталей k, l на орбитали i, j . Таким образом, описанный механизм имеет реализацию в виде эффективного бозонного гамильтониана:

$$H_b = -\frac{6}{2U} \sum_{ijkl} J_{ijkl}^2 \left(b^\dagger b_j^\dagger b_k b_l + b_l^\dagger b_k^\dagger b_j b_i \right) \quad (27)$$

При построении также возникает еще один член вида

$$V = \sum_{jk} M_{jk} b_j^\dagger b_k \quad M_{jk} \propto - \sum_{il}^N J_{ijkl} J_{ljki} / U \quad (28)$$

Простая оценка показывает, что этим членом можно пренебречь при $N \gg 1$, но в следующем разделе мы покажем, что справедливо более общее утверждение: поправки по теории возмущений к нашей системе с таким возмущением обращаются в ноль во всех порядках. Возвращаясь к гамильтониану (27), можно сказать, что он представляет собой бозонную версию модели SYK [17], ее особенностью является то, что мы имеем дело с вещественными матричными элементами J_{ijkl} . В следующих подсекциях мы детально обсудим свойства этой теории. Очень часто в сообществе возникают разногласия, связанные с именованием интегрируемых моделей.

Во избежания путаницы, еще раз обозначим, что обобщенной моделью Ричардсона мы будем называть следующий гамильтониан, полученный из гамильтониана (27):

$$H_{gR} = -\frac{W}{N^3} \sum_{ijkl}^N b_i^\dagger b_j^\dagger b_k b_l \quad W = \frac{3J^2}{32U} \quad (29)$$

4.3. Спектр модели и ее свойства

Предметом этой подсекции будет более подробное рассмотрение обобщенной модели Ричардсона [3], полученной ранее. Построение все также ведется с помощью квантовой многочастичной механики. Для начала введем операторы

$$B_0 = \sum_i^N b_i \quad N_b = \sum_i^N b_i^\dagger b_i \quad (30)$$

Также будем использовать коммутационные соотношения для наших бозонов (они обусловлены тем, что бозоны образованы с помощью пар электронов)

$$\{b_i^\dagger, b_i\} = 1 \quad [b_i^\dagger, b_j] = 0 \quad (31)$$

чтобы получить коммутационные соотношения для операторов теории

$$[N_b, B_0^\dagger] = B_0^\dagger \quad [N_b, B_0] = -B_0 \quad [B_0^\dagger, B_0] = 2N_b - N \quad (32)$$

Эти коммутаторы напоминают нам алгебру $su(2)$, если ввести переобозначение

$$L_+ = B_0^\dagger \quad L_- = B_0 \quad L_z = N_b - N/2 \quad B_0^\dagger B_0 = L^2 - L_z^2 + L_z \quad (33)$$

Перепишем гамильтониан нашей обобщенной модели в терминах операторов N_b и B_0 :

$$H_{gR} = -\frac{W}{N^3} \sum_{ijkl}^N b_i^\dagger b_j^\dagger b_k b_l = -\frac{W}{N^3} \left(B_0^\dagger B_0^\dagger B_0 B_0 - 4B_0^\dagger N_b B_0 + 2N_b(N_b - 1) \right) \quad (34)$$

Наблюдения, сделанные выше, могут помочь нам решить обычную модель Ричардсона и на ее основе получить решение обобщенной системы. Рассмотрим гамильтониан модели Ричардсона, переписанный в терминах операторов B_0 :

$$H_R = -\frac{W}{N} B_0^\dagger B_0 \quad (35)$$

Выделим случай $N_b = N/2$ и соответственно $L_z = 0$. Спектр наполовину заполненной модели Ричардсона

$$E_R = -\frac{W}{N} L(L+1) \quad L = 0, 1, \dots, N/2 \quad (36)$$

Путем построения аналогичного процесса получим спектр обобщенной модели Ричардсона

$$E_{gR}(L) = -\frac{W}{N^3} (L(L+1) - (N-1))^2 + \text{const} \quad (37)$$

Вакуум соответствует $L = N/2$, а вырождение возбужденных уровней:

$$D(L) = \binom{N/2 - L}{N} - \binom{N/2 - L - 1}{N} \quad \sum_{L=0}^{N/2-1} D(L) + 1 = \binom{N/2}{N} \quad (38)$$

После рассмотрения особенностей, возникающих при построении задачи, мы можем перейти к рассмотрению упомянутых ранее поправок.

5. Рассмотрение квантовых поправок к обобщенной модели Ричардсона

5.1. Поправки первого и второго порядка, обобщение

В этой секции произведем вычисление поправок для рассматриваемой нами модели. Еще раз приведем вид самой поправки:

$$V = \sum_{jk} M_{jk} b_j^\dagger b_k \quad M_{jk} \propto - \sum_{il}^N J_{ijkl} J_{ljki} / U \quad (39)$$

Мы будем пользоваться стандартной стационарной теорией возмущений, известной из университетского курса квантовой механики. Поправка первого порядка к основному состоянию будет иметь вид:

$$E_{GS}^{(1)} = \langle GS | V | GS \rangle \quad (40)$$

Перепишем данное выражение в терминах потенциала и основного состояния системы.

$$E_{GS}^{(1)} = \sum_{jk} M_{jk} \langle 0 | (B_0)^{N/2} b_j^\dagger b_k (B_0^\dagger)^{N/2} | 0 \rangle = \sum_{jk} M_{jk} \langle 0 | \left(\sum_{i=1}^N b_i \right)^{N/2} b_j^\dagger b_k \left(\sum_{l=1}^N b_l^\dagger \right)^{N/2} | 0 \rangle \quad (41)$$

В системе четное количество фермионов, значит N — четное число, перепишем степень суммы операторов рождения и уничтожения в виде произведения, а суммирование вынесем за матричный элемент.

$$E_{GS}^{(1)} = \sum_{jk} M_{jk} \sum_{i_1 \dots i_N}^N \langle 0 | b_{i_1} \dots b_{i_{N/2}} b_k b_j^\dagger b_{i_{N/2+1}}^\dagger \dots b_{i_N}^\dagger | 0 \rangle \quad (42)$$

Если внимательно посмотреть на формулу выше, то видно, что все оставшиеся вычисления сводятся к формуле Вика, с помощью которой и некоторых комбинаторных тождеств получаем:

$$E_{GS}^{(1)} \propto \sum_{a \in \{i_{N/2+1} \dots i_N\}} \sum_{b \in \{i_1 \dots i_{N/2}\}} \left(\sum_{ab} M_{ab} \right) N^{N/2-1} \cdot (2(N/2-1)-1)!! \quad (43)$$

Для полноты ответа произведем нормировку с учетом соотношения $\sum_{i_1 i_2}^N \delta_{i_1 i_2} = N$:

$$\langle GS | GS \rangle = \langle 0 | (B_0)^{N/2} (B_0^\dagger)^{N/2} | 0 \rangle = \langle 0 | \left(\sum_{i=1}^N b_i \right)^{N/2} \left(\sum_{l=1}^N b_l^\dagger \right)^{N/2} | 0 \rangle \quad (44)$$

Расчеты здесь производятся аналогично получению первой поправки, т. е. сведение к теореме вика с последующим избавлением от сумм.

$$\langle GS|GS\rangle = \sum_{i_1 \dots i_N}^N \langle 0| b_{i_1} \dots b_{i_{N/2}} b_{i_{N/2+1}}^\dagger \dots b_{i_N}^\dagger |0\rangle = N^{N/2} \cdot (2N/2 - 1)!! \quad (45)$$

После нормировки поправка 1-го порядка принимает вид:

$$E_{GS}^{(1)} \propto \frac{1}{N(N-1)} \sum_{a \in \{i_{N/2+1} \dots i_N\}} \sum_{b \in \{i_1 \dots i_{N/2}\}} \left(\sum_{ab} M_{ab} \right) = \frac{N^2}{4} \frac{1}{N(N-1)} \left(\sum_{ab} M_{ab} \right) \quad (46)$$

В силу антисимметричности матрицы M_{ij} мы видим, что поправка обращается в ноль

$$\sum_{ab} M_{ab} = 0 \quad (47)$$

Перейдем к рассмотрению следующей поправки, для этого опять запишем известную из квантовой механики формулу для поправки второго порядка:

$$E_{GS}^{(2)} = \sum_n \frac{\langle GS|V|n\rangle \langle n|V|GS\rangle}{E_n - E_{GS}} \quad (48)$$

Мы можем переписать это общее выражение в терминах L с помощью определения возбужденного состояния:

$$|L\rangle = B_0^{N/2-L} |GS\rangle \quad n = N/2 - L \quad (49)$$

Следуя общей нотации переобозначим квантовое число n за L и не забудем, что при переходе к L необходимо учесть вырождение возбужденных уровней с помощью множителя $D(L)$:

$$E_{GS}^{(2)} = \sum_{L=0}^{N/2-1} D(L) \frac{\left| \sum_{jk} M_{jk} \langle GS|b_j^\dagger b_k |L\rangle \right|^2}{E(L) - E(N/2)} \quad (50)$$

Приведем подробное вычисление для матричного элемента в числителе, по уже отработанной ранее схеме вычислений сведем матричный элемент к теореме Вика, чтобы воспользоваться комбинаторными тождествами

$$\sum_{jk} M_{jk} \langle GS|b_j^\dagger b_k |L\rangle = \sum_{jk} M_{jk} \sum_{i_1 \dots i_{N+N/2-L}}^N \langle 0| b_{i_1} \dots b_{i_{N/2}} b_k b_{i_{N+1}} \dots b_{i_{N+N/2-L}} b_j^\dagger b_{i_{N/2+1}}^\dagger \dots b_{i_N}^\dagger |0\rangle \quad (51)$$

Теперь еще раз внимательно посмотрим на выражение в формуле (51).

Операторов уничтожения — $N/2 + 1 + N/2 - L = N + 1 - L$

Операторов рождения — $N/2 + 1$ Из количества операторов рождения и уничтожения делаем вывод, что поправка зануляется.

Дальнейшая аналогия легко напрашивается сама собой, так как во всех порядках теории возмущений присутствуют матричные элементы подобного вида. Последующее рассмотрение с использованием метода математической индукции дает нам то, что для поправки любого порядка количество операторов рождения и операторов уничтожения не будет совпадать. Таким образом, можно заключить, что возмущения, описанные формулами (39) не будут давать вклад в энергию основного состояния.

$$E_{GS}^{(n)} = 0 \quad n = 1, 2 \dots \quad (52)$$

Мы получили основной результат этой работы.

6. Заключение

В данной работе был дан обзор для основных явлений, связанных с SYK сверхпроводимостью. Следуя исследованиям [3], мы обнаружили, что спиновая версия модели SYK с дополнительными взаимодействиями может демонстрировать недиагональный дальний порядок и сверхпроводимость. Предыдущие исследования были сосредоточены на трактовке данной теории с помощью среднего поля в случае больших N . Исследуемый класс теорий подразумевает неустойчивость основного состояния электронного газа в веществе при сколь угодно слабом притяжении. Это действительно так для модели, реализующей прыжки электронов, кратко рассмотренной здесь. Однако, для теории с другим взаимодействием из данной работы главный эффект заключается в том, что добавление члена Хаббарда к модели SYK, приводит к качественно другому сценарию сверхпроводящего перехода. В этом случае физика продиктована квантовыми флуктуациями локальных фаз. В частности, это приводит к образованию псевдощели при малых U . Данные особенности также описываются квантовой версией знаменитой модели Курамото, кратко упомянутой здесь. С другой стороны, при сильном притяжении вид взаимодействия имеет решающее значение, что отображается на связи модели Ричардсона с нашей системой. Опираясь на эти рассуждения рассматриваются поправки для обобщенной модели Ричардсона в случае сильной связи. Оказывается, что во всех порядках теории возмущений эти поправки не дают вклад, что подтверждает сделанные ранее рассмотрения.

В завершение работы перечислим некоторые нерешенные задачи, которые могут являться продолжением данного исследования. Первый открытый вопрос — это рассмотрение температурных эффектов и как они влияют на систему с данной поправкой. Как другой путь развития, можно рассмотреть несколько отличные модели, например, взять модель SYK не на полном графе, где все частицы взаимодействуют между всеми, а с какой-то заданной матрицей смежности, и посмотреть как будет себя вести такая система с данным возбуждением.

Список литературы

- [1] Antal Jevicki, Kenta Suzuki, Bi-Local Holography in the SYK Model: Perturbations JHEP 11 046, **2016**
- [2] Xue-Yang Song, Chao-Ming Jian, Leon Balents, A strongly correlated metal built from Sachdev-Ye-Kitaev models, Physical Review Letters, Volume 119, Issue 21, 216601, **2017**
- [3] Hanteng Wang, A. L. Chudnovskiy, Alexander Gorsky, and Alex Kamenev, SYK Superconductivity: Quantum Kuramoto and Generalized Richardson Models; Phys. Rev. Research 2, 033025 **2020**.
- [4] Dmitrii A. Trunin, Pedagogical introduction to SYK model and 2D Dilaton Gravity; Phys. Usp. 64 (3) **2020**.
- [5] Juan Maldacena and Douglas Stanford, Remarks on the Sachdev-Ye-Kitaev model; Phys. Rev. D 94, 106002 **2016**
- [6] Subir Sachdev and Jinwu Ye, Gapless spin-fluid ground state in a random quantum Heisenberg magnet; Phys. Rev. Lett. 70, 3339 **1993**
- [7] Valentin Bonzom, Victor Nador, Adrian Tanasa, Diagrammatic proof of the large N melonic dominance in the SYK model; Letters in Mathematical Physics volume 109, 2611–2624 **2019**.
- [8] Ilya Esterlis and Jörg Schmalian, Cooper pairing of incoherent electrons: an electron-phonon version of the Sachdev-Ye-Kitaev model; Phys. Rev. B 100, 115132, **2019**.
- [9] Yoshiki Kuramoto, Self-entrainment of a population of coupled non-linear oscillators; p. 420, Chap. Self-entrainment of a population of coupled non-linear oscillators. **1975**.
- [10] H. Daido, Quasientrainment and Slow Relaxation in a Population of Oscillators with Random and Frustrated Interactions, Phys. Rev. Lett. 68, 1073 **1992**.
- [11] R.W. Richardson, A restricted class of exact eigenstates of the pairing-force Hamiltonian; Phys. Lett. 3, 277 **1963**.
- [12] Anthony J. Leggett, Bose-Einstein condensation in the alkali gases: Some fundamental concepts; Rev. Mod. Phys. 73, 307 **2001**.

- [13] Wenbo Fu and Subir Sachdev, Numerical study of fermion and boson models with infinite-range random interactions; *Phys. Rev. B* 94, 035135 **2016**.
- [14] Aavishkar A. Patel, Michael J. Lawler, and Eun-Ah Kim, Coherent Superconductivity with a Large Gap Ratio from Incoherent Metals; *Phys. Rev. Lett.* 121, 187001 **2018**, 31, 1-24.
- [15] J. Dukelsky, S. Pittel, and G. Sierra, Colloquium: Exactly solvable Richardson-Gaudin models for many-body quantum systems; *J. Dukelsky, S. Pittel, and G. Sierra Rev. Mod. Phys.* 76, 643 **2004**.
- [16] A. Milekhin, G. Tarnopolsky, A. Kamenev, and I. Klebanov, (unpublished).
- [17] C. L. Baldwin and B. Swingle, Quenched vs Annealed: Glassiness from SK to SYK; *Phys. Rev. X* 10, 031026 **2020**.